

噴流型表層密度流の内部Jumpについては、早川・Stefan等(1971)によって検討されている。ここでは早川等と同様に運動方程式を使用して検討を行なうが、Lee, Jirka, Harleman等(1974)が二層流の解析に用いた手法を拡張して内部Jumpの問題を取り扱う。

図-1は考える場の模式図である。ここに  $P_0, P_1, P_2$  はそれぞれ放出水、Jump後の上層水、および下層水の密度；  $g_0, h_1, h_2, h_2'$  はそれぞれ、放出口水深、Jump後の上層水水深、放出口下端から底面までの水深、Jump後の上下層界面からの水深；  $g_0, g_1, g_2$  はそれぞれ放出流量、Jump後の上層流量、連行流量で  $g_1 = g_0 + g_2$  である。

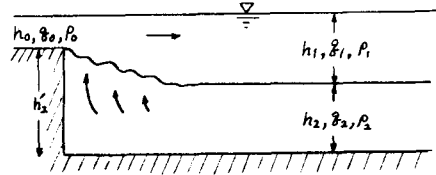


図-1

## 1) 内部Jumpを表現する基本式の誘導

図-1のような模式図を考えると、上層および下層に対する運動方程式はそれぞれ(1), (2)式で表わされる。

$$-\frac{P_2 g_2^2}{h_0} + \frac{P_1 g_1^2}{h_1} = \frac{1}{2} \beta g h_0^2 - \frac{1}{2} (h_0 + h_1) (h_2' - h_2) P_1 g - \frac{1}{2} h_1^2 P_1 g \quad \dots \dots \dots (1)$$

$$\frac{P_2 g_2^2}{h_2'} = h_0 h_2 P_2 g + \frac{1}{2} h_2^2 P_2 g + \frac{1}{2} (h_0 + h_1) (h_2' - h_2) P_1 g - h_1 h_2' P_1 g - \frac{1}{2} h_2^2 P_2 g \quad \dots \dots \dots (2)$$

上式を  $P_0 \sim P_1$  として変形すると、それそれ(1)', (2)'式を得る。

$$\frac{h_2' - h_2}{h_1 - h_0} = \frac{2 g_0^2 (h_1 - g_1^2/g_0^2 \cdot h_0)}{g h_0 h_1 (h_0 + h_1) (h_1 - h_0)} - 1 \quad \dots \dots \dots (1)' \quad \frac{h_2' - h_2}{h_1 - h_0} = \frac{-2 g_2^2}{P_2 g h_2' (h_2 + h_2') (h_2' - h_2)} - \frac{1}{P_0/P_2} \quad \dots \dots \dots (2)'$$

ここで(1)' = (2)'より(3)式を得る。

$$\left\{ \frac{2 g_0^2}{g h_0^3} \frac{(h_1 - g_1^2/g_0^2 \cdot h_0)}{h_1 - h_0} - \frac{h_1 (h_1/h_0 + 1)}{h_0} \right\} \left\{ \frac{-2 g_2^2}{g h_2^2 (h_2' - h_2)} - \frac{h_2' (h_2'/h_2 + 1)}{h_2} \right\} = \frac{P_0}{P_2} \frac{h_1}{h_0} \left( \frac{h_1}{h_0} + 1 \right) \frac{h_2' (h_2'/h_2 + 1)}{h_2} \quad \dots \dots \dots (3)$$

(3)式で放出口の水深が十分に深い場合 ( $h_2$  or  $h_2' \rightarrow \infty$ ) の場合に問題を限定すると(4)式となる。

$$\left\{ \frac{2 g_0^2}{g h_0^3} \frac{(h_1 - g_1^2/g_0^2 \cdot h_0)}{h_1 - h_0} - \frac{h_1 (h_1/h_0 + 1)}{h_0} \right\} = - \frac{P_2 - \Delta P}{P_2} \frac{h_1}{h_0} \left( \frac{h_1}{h_0} + 1 \right) \quad \dots \dots \dots (4)$$

上式をJump後の希釈倍率  $Q = g_1/g_0$ , Jump後の上層水深と放出口水深の比  $h_1/h_0$ , 放出口Froude数  $F_0 = u_0 / \sqrt{\Delta P / P_2 g h_0}$  で書き表わすと(4)式は(5)式の様に書き表わせる。

$$2 F_0^2 \left\{ (h_1/h_0 - Q^2) / (h_1/h_0 - 1) \right\} = h_1/h_0 \cdot (h_1/h_0 - 1) \quad \dots \dots \dots (5)$$

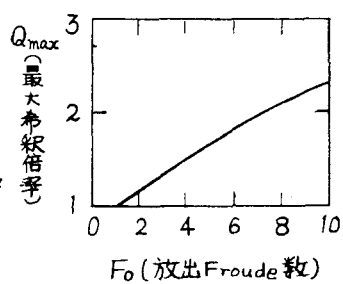
(5)式は  $(h_1/h_0)$  についての三次方程式であり(6)式で表わされる。これが内部Jumpを表わす基本式である。

$$(h_1/h_0)^3 - (1 + 2 F_0^2) (h_1/h_0) + 2 Q^2 F_0^2 = 0 \quad \dots \dots \dots (6)$$

## 2) 内部Jumpを表現する(6)式に対する考察

(6)式はJump後の希釈倍率  $Q$  が与へられれば、放出Froude数に対して  $h_1/h_0$  が決まるが、ここでJump後の最大希釈倍率を求める事は興味があるので与へられる放出Froude数に対して取り得る最大の希釈倍率  $Q$  を求めると、

$h_1/h_0 = \sqrt{(1 + 2 F_0^2) / 3}$  のとき  $Q_{max} = (1 + 2 F_0^2)^{3/4} / 3^{3/4} F_0$  となる。(図-2)。その場合のJump後のFroude数は  $F_1 = (u_0 / \sqrt{4 P_2 g h_0}) (u_1/u_0) (h_0/h_1)^{1/2} = F_0 Q / (h_1/h_0)^{3/2}$  より  $F_1 = 1$  となる。つまりJump後のFroude数が1となる場合に最大連行量を得る事となる。さらに(6)式は連行がない場合( $Q=1$ )を仮定すると、その



解は  $h_1/h_0 = 1, \sqrt{2}(\sqrt{1+8F_0^2} - 1)$  となり従来種々、

議論された結果となる。

次に(6)式の与える解の意味について検討を加える。

図-3は(6)式の解を模式的に描いたものであるが、図中に示すように  $h_1/h_0$  は 2 つの解をもつ事が解る。 $h_1/h_0 = \sqrt{(1+2F_0^2)/3}$  が  $F_0 = 1$  に対応しているから  $h_1/h_0 > \sqrt{(1+2F_0^2)/3}$  の解は Jump 後 Subcritical Flow となる事 ( $F_0 < 1$ ) を示しており、 $h_1/h_0 < \sqrt{(1+2F_0^2)/3}$  の解は Jump 後 Supercritical Flow となる事 ( $F_0 > 1$ ) を示している。この事は次の様に理解される。つまり……Jump 後  $F_0 < 1$  となる場合は下流端のゲートなどでの操作により、上層の下流側水深を深くして強制的に内部Jumpを引き起し、その結果として希釈倍率を小さくしたような場合に相当する。また Jump 後の Froude 数が  $F_0 > 1$  に対応する解は、実は内部Jumpと、それに伴う連行が、まだ完了しておらず、引き続き運動し  $h_1/h_0$  の増大と希釈倍率の増加を引き起すよう、いわば途中経過の解となっているのだろう。つまり  $h_1/h_0 < \sqrt{(1+2F_0^2)/3}$  に対応する解は最終的 Jump 高さについて議論する場合には意味のないものである。

従って一定の Froude 数で放出された噴流型表層密度流の運動過程は、下流側に何等かの条件を与えない場合、図-3中の矢印で示す様に、Froude 数の減少を伴ながる躍層厚を増大させ、ついには Froude 数 1 となり、最大躍層厚を得、連行および、Jump を終了すると考えられる。

以上の事より、実存する内部Jump の範囲を描いたのが図-4である。この図中に示される  $h_1/h_0 > \frac{1}{2}(\sqrt{1+8F_0^2} - 1)$  で示される部分は、いわゆる Submerged Internal Jump の領域であると考えられるが、この場合を潜水部 分も含めて  $h_0$  とするなど何等かの補正を加えれば、結局内部Jump の範囲は  $\frac{1}{2}(\sqrt{1+8F_0^2} - 1) \leq h_1/h_0 \leq \sqrt{(1+2F_0^2)/3}$  で与へられるであろう。

### 3) 結語

放出場の水深が十分に深い場合の内部Jump についての解析を行なった。著者はこのような条件に対応する実験データを知らないので理論的検討だけに終ったが、この問題について理解を深める事ができたと考える。

### 参考文献

- 1) Stefan, H., Hayakawa, N.; The two dimensional Buoyant Surface Jet and the Internal Hydraulic Jump; Minnesota Univ., St. Anthony Falls Hy. Lab., Project No. 16130 FSU, 1971;
- 2) Stefan, H.; Stratification of Flow from Channel into Deep Lake; Proc. HY. 6, PP 1417-1434 1970
- 3) Harleman, D.R.F.; Jirka, G., Lee, J.; Stability and Mixing of a Vertical Round Buoyant Jet in Shallow Water; Ralph M. Parsons. Lab., M.I.T. Report No. 195, 1974:

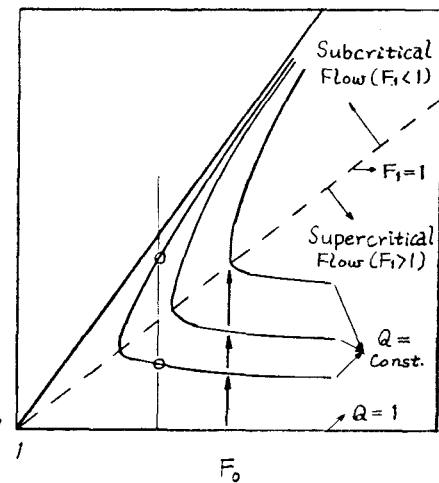


図-3 (解の模式図)

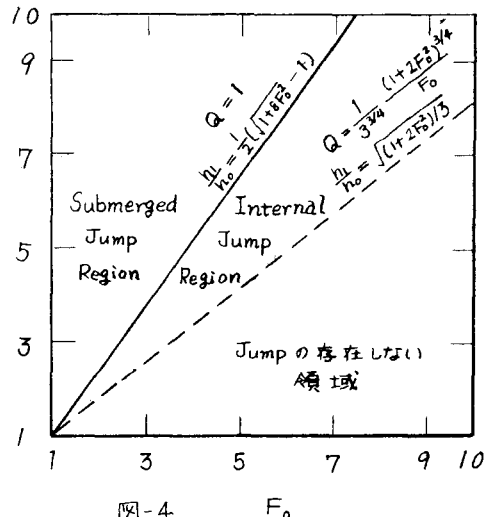


図-4